

## توسعه منحنی رقیق شدن نیتروژن بحرانی بر مبنای ماده خشک برگ در دو رقم کلزای بهاره (*Brassica napus* L.)

سید عطااله سیادت<sup>1\*</sup> و ابوالفضل درخشان<sup>2</sup>

تاریخ دریافت: 1397/03/01

تاریخ پذیرش: 1397/07/16

سیادت، س.ع. و درخشان، ا. 1398. توسعه منحنی رقیق شدن نیتروژن بحرانی بر مبنای ماده خشک برگ در دو رقم کلزای بهاره (*Brassica napus* L.). بوم‌شناسی کشاورزی، 11 (4): 1343-1356.

### چکیده

بهبود رشد گیاه زراعی با کاربرد کود نیتروژن می‌تواند به میزان قابل توجهی عملکرد محصول را افزایش و بازده اقتصادی را بهبود بخشد. با این حال، استفاده بیش از حد از کود نیتروژن در نظام‌های کشت فشرده منجر به کاهش کارایی زراعی مصرف نیتروژن، افزایش انتشار گازهای گلخانه‌ای و آلودگی آب و خاک شده است. غلظت نیتروژن بحرانی ( $N_c$ ) حداقل نیتروژن مورد نیاز برای حداکثر رشد گیاه است و می‌تواند به عنوان ابزاری برای مدیریت دقیق نیتروژن در طی فصل رشد استفاده شود. مطالعه فعلی با هدف تعیین منحنی رقیق شدن غلظت نیتروژن بحرانی بر مبنای ماده خشک برگ (LDM) در کلزای بهاره (*Brassica napus* L.) انجام شد. برای این منظور، یک آزمایش مزرعه‌ای با هفت سطح مصرف صفر، 50، 100، 150، 200، 250 و 300 کیلوگرم نیتروژن خالص در هکتار انجام گرفت و ماده خشک و غلظت نیتروژن برگ دو رقم کلزای بهاره در طی فصل رشد اندازه‌گیری شد. منحنی رقیق شدن غلظت نیتروژن بحرانی برگ کلزای بهاره با رابطه  $N_c = 5.08LDM^{0.06}$  توصیف شد. شاخص تغذیه نیتروژنی (NNI) بسته به میزان مصرف نیتروژن در رقم دلگان از 0/72 تا 1/14 و در رقم هایولا 401 از 0/53 تا 1/15 متغیر بود. کمبود نیتروژن تجمعی ( $N_{and}$ ) در رقم دلگان بین 11/61 - و 107/09 کیلوگرم نیتروژن در هکتار و در رقم هایولا 401 بین 24/22 - و 129/64 کیلوگرم نیتروژن در هکتار تعیین شد. همبستگی مثبت معنی‌داری بین اختلاف میزان مصرف نیتروژن ( $\Delta N$ ) با تغییرات شاخص تغذیه نیتروژنی ( $\Delta NNI$ ) و کمبود نیتروژن تجمعی ( $\Delta N_{and}$ ) وجود داشت. به طور کلی، منحنی رقیق شدن غلظت نیتروژن بحرانی و شاخص تغذیه نیتروژنی و کمبود نیتروژن تجمعی مشتق از آن به خوبی وضعیت محدودیت و عدم محدودیت تغذیه نیتروژنی را در دو رقم کلزای بهاره مشخص کرد و می‌تواند به عنوان شاخص قابل اطمینانی از وضعیت نیتروژن گیاه زراعی در طی فصل رشد استفاده شود.

**واژه‌های کلیدی:** بهینه‌سازی مصرف نیتروژن، شاخص تغذیه نیتروژنی، کمبود نیتروژن، مدل‌سازی، مدیریت دقیق نیتروژن

### مقدمه

می‌تواند به میزان قابل توجهی عملکرد محصول را افزایش و بازده اقتصادی را بهبود بخشد. با این حال، استفاده بیش از حد از کود N در نظام‌های کشت فشرده منجر به کاهش کارایی زراعی مصرف N، افزایش انتشار گازهای گلخانه‌ای و آلودگی آب و خاک شده است (Miranzadeh et al., 2010; Zhao et al., 2014; Weymann et al., 2016). استفاده بیش از حد کود N نه تنها درآمد کشاورزان را با افزایش هزینه‌های تولید کاهش می‌دهد، بلکه آب‌های زیرزمینی منطقه از طریق آبشویی به نیترات و نیتريت آلوده می‌شود. غلظت

کاهش مداوم زمین‌های مساعد در دسترس برای کشاورزی اهمیت به حداکثر رساندن عملکرد گیاه زراعی در واحد سطح را افزایش داده است. بهبود رشد گیاه زراعی با کاربرد کود نیتروژن (N)

1 و 2 - به ترتیب استاد و دکتری زراعت، گروه مهندسی تولید و ژنتیک گیاهی، دانشکده کشاورزی، دانشگاه علوم کشاورزی و منابع طبیعی خوزستان، ایران  
(\* - نویسنده مسئول: Email: seyedatasiadat@asnrukh.ac.ir  
Doi: 10.22067/jag.v11i4.72921

همیشه نمی‌تواند در مناسب‌ترین سطح تجمع مورفولوژیکی که در آن روابط مفید وزن/ نیتروژن به‌دست می‌آید، باشد و پاسخ‌های تنش می‌تواند تسهیم ماده خشک میان بافت‌های گیاهی را تغییر دهد و از این‌رو شکل منحنی‌های رقیق شدن را تحت تأثیر قرار دهد (Ata-Ul-Karim et al., 2017b).

تئوری رقیق شدن  $N_c$  هم‌چنین برای توسعه منحنی‌های رقیق شدن  $N_c$  بر مبنای شاخص‌های گیاهی (برگ، ساقه، سنبله و شاخص سطح برگ) در برنج (Yao et al., 2014a; Ata-Ul-Karim et al., 2017b)، گندم (Yao et al., 2014b; Zhao et al., 2016) و کلزای زمستانه (Colnenne et al., 1998) مورد استفاده قرار گرفته است. شکل منحنی‌ها بر اساس شاخص‌های مختلف گیاهی مشابه با شکل منحنی بر مبنای کل DM گیاهی بود. توسعه منحنی‌های رقیق شدن  $N_c$  بر مبنای شاخص‌های مختلف گیاهی امکان بررسی پاسخ شاخص‌های گیاهی به کمبود یا بیش‌بود N را با جزئیات بیش‌تری فراهم می‌کند. استفاده از روابط بین شاخص‌های مختلف گیاهی و غلظت N در گیاهان زراعی به‌جای DM گیاهی مزایای بیش‌تری برای درک بهتر منحنی‌های رقیق شدن  $N_c$  در گیاهان زراعی ارائه می‌دهد (Ata-Ul-Karim et al., 2017b). بررسی‌های دقیق در مورد فرآیندهای فیزیولوژیکی تسهیم DM و توزیع N در بافت‌های مختلف گیاهی در طول دوره رشد گیاه زراعی به‌منظور آنالیز گزینه‌ها و محدودیت‌های بهبود کارایی استفاده از N و مدیریت N برای تولید حداکثر محصول ضروری به نظر می‌رسد.

رابطه قوی بین غلظت N گیاه و فعالیت‌های متابولیکی آن در طی رشد وجود دارد. فعالیت‌های متابولیکی در مراحل اولیه رشد به‌دلیل عدم وجود بخش ساختاری در سرتاسر پیکره گیاه توزیع می‌شوند، اما با پیشرفت رشد گیاه فعالیت‌های متابولیکی به‌طور عمده در اجزاء متابولیکی (برگ‌ها) نه در جزء ساختاری (ساقه) انجام می‌شود (Justes et al., 1994)؛ بنابراین، N در گیاه در ابتدا با DM گیاهی متناسب است و پس از تغییرات تدریجی با رقیق شدن N در اجزاء متابولیکی متناسب می‌شود (Weymann et al., 2016). مطالعه اخیر نشان داد که به‌دلیل استفاده فیزیولوژیک کارآمدتر N در برگ‌ها در طول دوره رشد گیاه زراعی توسعه منحنی رقیق شدن  $N_c$  برگ می‌تواند درک بهتر و عمیق‌تری از وضعیت N گیاه زراعی ارائه دهد (Ata-Ul-Karim et al., 2017b). علاوه‌براین، روش‌های بی‌درنگ<sup>2</sup>

نیترات موجود در آب آشامیدنی در بسیاری از نقاط کشور بیش‌تر از استاندارد سازمان بهداشت جهانی (11/3 میلی‌گرم نیترات در لیتر) است (Miranzadeh et al., 2010). بنابراین، بهینه‌سازی میزان N مورد نیاز در هر مرحله از چرخه رشد گیاه زراعی برای افزایش عملکرد دانه، بهبود کارایی زراعی مصرف N و پایداری محیط زیست بحرانی است (Ata-Ul-Karim et al., 2017a).

روش‌های متعددی مانند اندازه‌گیری‌های کلروفیل متر (Ata-Ul-Karim et al., 2016)، پایش پویای N در اطراف ریشه‌های گیاه (Xu et al., 2012)، سنجش از دور (Schlemmer et al., 2013) و اندازه‌گیری مستقیم غلظت N در گیاه (Zhao et al., 2017) برای تعیین وضعیت N گیاه زراعی استفاده شده است. اندازه‌گیری مستقیم غلظت N در گیاه برای تشخیص وضعیت N بر مبنای تئوری رقیق شدن نیتروژن بحرانی<sup>1</sup> ( $N_c$ ) یا حداقل غلظت N مورد نیاز برای دستیابی به رشد حداکثر استوار است (Greenwood et al., 1990). منحنی رقیق شدن  $N_c$  شاخصی از وضعیت N گیاه زراعی است که می‌تواند با استفاده از رابطه توانی منفی  $N_c = a_e DM^{-b}$  توصیف گردد. در این رابطه،  $a_e$ : غلظت  $N_c$  برای ماده خشک گیاهی (DM) معادل با یک تن در هکتار و  $b$ : کاهش غلظت  $N_c$  در پاسخ به رشد گیاه را نشان می‌دهد.

منحنی رقیق شدن  $N_c$  بر مبنای DM گیاهی در چندین گیاه زراعی از جمله گندم زمستانه (*Triticum aestivum* L.) (Yue et al., 2012)، ذرت (*Zea mays* L.) (Ziadi et al., 2008)، برنج (*Oryza sativa* L.) (Ata-Ul-Karim et al., 2013) و جو زمستانه (*Hordeum vulgare* L.) (Zhao, 2014) تعیین شده است. گزارش‌های قبلی تفاوت منحنی  $N_c$  بین و درون گونه‌های گیاهی (Justes et al., 1994) و نیز بین سایت‌های آزمایشی (Greenwood et al., 1990) را تأیید کرده است. رویکرد مبتنی بر کل DM گیاهی بینش کافی در مورد عوامل مؤثر بر جذب N در گیاهان زراعی ارائه می‌دهد (Ata-Ul-Karim et al., 2017b). با این‌حال، تغییرات مرتبط با درجه بالای توزیع فضایی وضعیت N در طول فصل رشد در مزرعه انطباق رویکرد مبتنی بر DM گیاهی با شیوه‌های کشاورزی مکانیزه مدرن را محدود می‌سازد (Fitzgerald et al., 2010). علاوه‌براین، پژوهش‌های قبلی نشان داده است که DM گیاهی

اصلی دو متر فاصله در نظر گرفته شد. کود N (از منبع اویره) مورد نیاز برای هر یک از سطوح فاکتور کودی به چهار بخش تقسیم و یک بخش از آن در مرحله دو الی سه برگی (سه دی)، دو بخش از آن قبل از شروع ساقه رفتن (25 دی) و یک بخش در مرحله شروع گل‌دهی زرد (15 بهمن) به‌روش نواری به خاک اضافه شد. آزمایش در شرایط آبیاری بهینه انجام شد، به طوری که در طی دوره رشد گیاه از وقوع کمبود یا بیش‌بود آب در کرت‌های آزمایشی ممانعت شد. هم‌چنین، آزمایش در شرایط عاری از تنش‌های زیستی حفظ شد. برای این منظور، علف‌های هرز در ابتدای فصل رشد گیاه زراعی در چند نوبت با وجین دستی حذف شدند. هیچ اثری از علائم بیماری‌های گیاهی در مزرعه وجود نداشت. علاوه‌براین، به‌دلیل وجود نی ( *Phragmites australis* (Cav.) Trin. ex Steud. در حاشیه مزرعه و میزبانی آن هیچ خسارتی از شته مومی کلم (*Brevicoryne brassicae* L.) مشاهده نشد.

### اندازه‌گیری‌ها

هشت مرحله نمونه‌برداری تخریبی ( $S_1$  تا  $S_8$ ) به فاصله هفت تا 10 روز انجام شد تا تغییرات وزن خشک برگ (LDM) و غلظت نیتروژن برگ (LNC) در دو رقم کلزای مطالعه شده در طی دوره سبز شدن تا مرحله تشکیل خورجین‌ها بررسی گردد. در هر مرحله، با رعایت اثر حاشیه‌ای پنج بوته از هر کرت آزمایشی برداشت شد. بلافاصله پس از نمونه‌برداری، تعداد برگ‌های سبز و برگ‌های زرد و افتاده روی ساقه اصلی هر یک از بوته‌ها شمارش و پهنک برگ‌های سبز از دم‌برگ آن جدا شد. وزن پهنک برگ‌های سبز و ساقه (ساقه + دم‌برگ) به‌طور جداگانه پس از خشک شدن در آون‌ی با دمای 80 درجه سانتی‌گراد اندازه‌گیری شد. سپس، برگ‌های خشک آسیاب شدند و برای تعیین غلظت N مورد استفاده قرار گرفتند. LNC با استفاده از روش میکرو-کجلدال تعیین شد (Bremner & Mulvancy, 1982).

و غیرتخریبی پایش رشد گیاه زراعی در مزرعه (مثل روش‌های سنجش از دور و عکاسی دیجیتال) به‌طور کلی روی سایه‌انداز برگ متمرکز هستند نه خود گیاهان (Rico-Garcia et al., 2009)؛ بنابراین، توسعه منحنی رقیق شدن  $N_c$  بر مبنای ماده خشک برگ ( $LDM^1$ ) برای یافتن مناسب‌ترین غلظت N برگ ( $LNC^2$ ) مورد نیاز برای بهینه‌سازی فعالیت‌های متابولیکی، رشد گیاه زراعی و هم‌چنین برای ارائه یک روش بسیار قوی برای تعیین وضعیت N گیاه زراعی ضروری است. لذا، این مطالعه با هدف توسعه منحنی رقیق شدن  $N_c$  بر مبنای LDM و بررسی قابلیت اطمینان آن در ارزیابی وضعیت تغذیه N در دو رقم کلزای بهاره (*Brassica napus* L.) انجام شد.

### مواد و روش‌ها

این پژوهش در سال زراعی 96-1395 در مزرعه پژوهشی دانشگاه علوم کشاورزی و منابع طبیعی خوزستان واقع در شهر ملاتانی اجرا شد. شهر ملاتانی در 35 کیلومتری شمال شرقی اهواز و در حاشیه شرقی رودخانه کارون با عرض جغرافیایی 31 درجه و 36 دقیقه شمالی، طول جغرافیایی 48 درجه و 53 دقیقه شرقی و ارتفاع 23 متر از سطح دریا واقع شده است. آزمایش به‌صورت کرت‌های خردشده در قالب طرح پایه بلوک‌های کامل تصادفی با سه تکرار اجرا گردید. میزان مصرف N خالص در هفت سطح صفر ( $N_0$ )، 50 ( $N_1$ )، 100 ( $N_2$ )، 150 ( $N_3$ )، 200 ( $N_4$ )، 250 ( $N_5$ ) و 300 ( $N_6$ ) کیلوگرم در هکتار به‌عنوان عامل اصلی و دو رقم کلزای هایولا 401 و دلگان به‌عنوان عامل فرعی در نظر گرفته شد. بعد از انجام شخم، کود پایه مورد نیاز (100 کیلوگرم در هکتار سولفات پتاسیم) برحسب نتایج تجزیه مواد غذایی خاک مصرف شد (جدول 1). آماده‌سازی زمین با دو مرتبه دیسک عمود بر هم، ایجاد نهر و تسطیح کرت‌ها تکمیل شد. سپس، دو رقم کلزا با تراکم 250 بذر در مترمربع در تاریخ 27 آبان در کرت‌های فرعی به‌طول 2/5 متر و عرض سه متر کشت شد. فاصله بین ردیف‌های کاشت کلزا معادل 25 سانتی‌متر در نظر گرفته شد و کاشت بذر با دست در عمق یک سانتی‌متری خاک در یک بستر بذر مسطح صورت گرفت. پس از سبز شدن و استقرار گیاهچه، بوته‌های اضافی تنک و تراکم کرت‌ها معادل 80 بوته در مترمربع تنظیم شد. در هر تکرار آزمایش، بین کرت‌های فرعی یک متر و بین کرت‌های

1- Leaf dry matter

2- Leaf nitrogen concentration

جدول 1- ویژگی‌های فیزیکی و شیمیایی لایه 30 سانتی‌متر بالایی خاک محل آزمایش

Table 1- Physical and chemical characteristics of the top 30-cm layer of soil at the experiment site						
نیتروژن Nitrogen (%)	فسفر Phosphorus (mg.kg <sup>-1</sup> )	پتاسیم Potassium (mg.kg <sup>-1</sup> )	هدایت الکتریکی Electric conductivity (dS.m <sup>-1</sup> )	سیلت Clay (%)	رس Silt (%)	شن Sand (%)
0.03	20.31	124.00	6.30	34	48	18

وضعیت تغذیه N کلزای بهاره وقتی  $NNI=1$  بود بهینه در نظر گرفته شد. برای  $NNI>1$ ، N بیش‌تر از حد مورد نیاز بوده و زمانی که  $NNI<1$  باشد رشد کلزای بهاره در اثر کمبود N محدود شده است. تفاوت میزان NNI میان تیمارهای مختلف ( $\Delta NNI$ ) به‌روش پیشنهادشده توسط عطالکریم و همکاران (Ata-Ul-Karim et al., 2013) محاسبه شد:

$$\Delta NNI = NNI_i - NNI_{ck} \quad (2)$$

در این معادله،  $NNI_i$ : مقدار NNI تیمارهای مختلف N و  $NNI_{ck}$ : مقدار NNI کم‌ترین سطح مصرف N هستند. کمبود نیتروژن تجمع می (N<sub>and</sub>) در برگ‌های کلزا در هر تاریخ نمونه‌برداری با کم کردن تجمع N در برگ‌ها تحت شرایط N<sub>c</sub> (N<sub>na</sub>) از تجمع واقعی N در برگ‌ها تحت شرایط مصرف سطوح مختلف N (N<sub>na</sub>) تعیین شد (Ata-Ul-Karim et al., 2013):

$$N_{and} = N_{na} - N_{ck} \quad (3)$$

تفاوت میزان N<sub>and</sub> میان تیمارهای مختلف ( $\Delta N_{and}$ ) با استفاده از رابطه زیر محاسبه شد (Ata-Ul-Karim et al., 2013):

$$\Delta N_{and} = N_{and i} - N_{and ck} \quad (4)$$

در این معادله،  $N_{and i}$ : مقدار N<sub>and</sub> تیمارهای مختلف N و  $N_{and ck}$ : مقدار N<sub>and</sub> کم‌ترین سطح مصرف N هستند. برآزش مدل‌های رگرسیونی به داده‌ها با نرم‌افزار SAS و رویه Nlin و رسم گراف‌ها با استفاده از رویه Sgplot انجام شد.

### توسعه منحنی بحرانی رقیق شدن N

توسعه منحنی N<sub>c</sub> مستلزم شناسایی نقاط بحرانی است که در آن N نه رشد را محدود می‌کند و نه افزایش می‌دهد. مقادیر N<sub>c</sub> بر اساس روش شرح داده‌شده توسط جاستز و همکاران (Justes et al., 1994) تعیین شد. در ابتدا، نقاطی که در آن رشد گیاه زراعی توسط N محدود شد، تعیین گردید. تیمار N- محدود<sup>1</sup> به‌عنوان تیماری تعریف شد که در آن کاربرد مقادیر بیش‌تر N منجر به افزایش معنی‌دار LDM و LNC شد. تیمار N- غیرمحدود<sup>2</sup> به‌عنوان تیماری تعریف شد که در آن کاربرد مقادیر بیش‌تر N با افزایش LDM همراه نبود، اما در عین حال LNC را به‌طور معنی‌داری افزایش داد. داده‌های LDM و LNC با استفاده از نرم‌افزار SAS (version 9.2) در سطح احتمال پنج درصد تجزیه واریانس شدند. مقادیر N<sub>c</sub> برای هر تاریخ نمونه‌برداری به‌صورت زیر محاسبه شد:

LDM و LNC مربوط به تیمارهای مصرف N با استفاده از رویه ANOVA مقایسه شدند. رابطه رگرسیون ساده خطی به داده‌های تیمارهای N-محدود برآزش داده شد (خطوط مورب). حداکثر LDM با میانگین‌گیری از مقادیر LDM تیمارهای N-غیرمحدود محاسبه شد (خطوط عمودی). مقدار N<sub>c</sub> با استفاده از مختصات نقطه تقاطع خطوط مورب و عمودی در هر تاریخ نمونه‌برداری تعیین شد. از یک تابع آلمتریک برای تعیین رابطه بین N<sub>c</sub> و LDM استفاده شد.

### شاخص تغذیه نیتروژنی<sup>3</sup> (NNI)

در هر تاریخ نمونه‌برداری، NNI برگ‌های کلزا با تقسیم LNC مشاهده‌شده بر مقدار N<sub>c</sub> برگ محاسبه شد (Lemaire & Gastal, 1997):

$$NNI = \frac{LNC}{N_c} \quad (1)$$

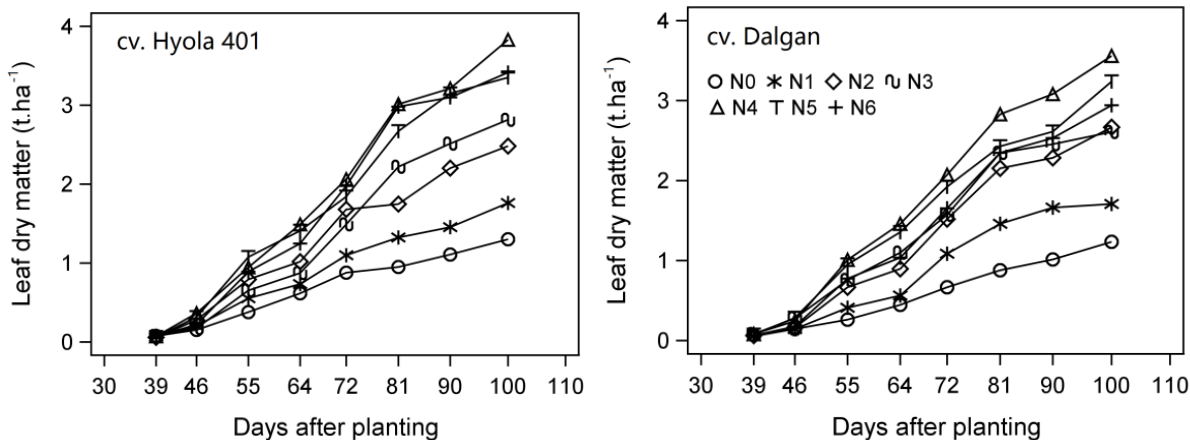
### نتایج و بحث

در هر دو رقم کلزای بهاره مطالعه شده، LDM پس از استقرار گیاهچه در سطح خاک به‌تدریج افزایش یافت و در حدود 100 روز از کاشت به حداکثر رسید (شکل 1). تیمارهای مصرف N به‌طور معنی‌داری LDM هر دو رقم کلزای بهاره را در طی این دوره (به‌استثنای نمونه‌برداری اول که پس از 39 روز از کاشت انجام شد) تحت تأثیر قرار دادند. بسته به مرحله رشد کلزا، LDM رقم‌های 401 از 0/06 (تیمار N<sub>0</sub>) تا 3/83 تن در هکتار (تیمار N<sub>4</sub>) و در رقم

- 1- Nitrogen-limiting
- 2- Non-nitrogen-limiting
- 3- Nitrogen nutrition index

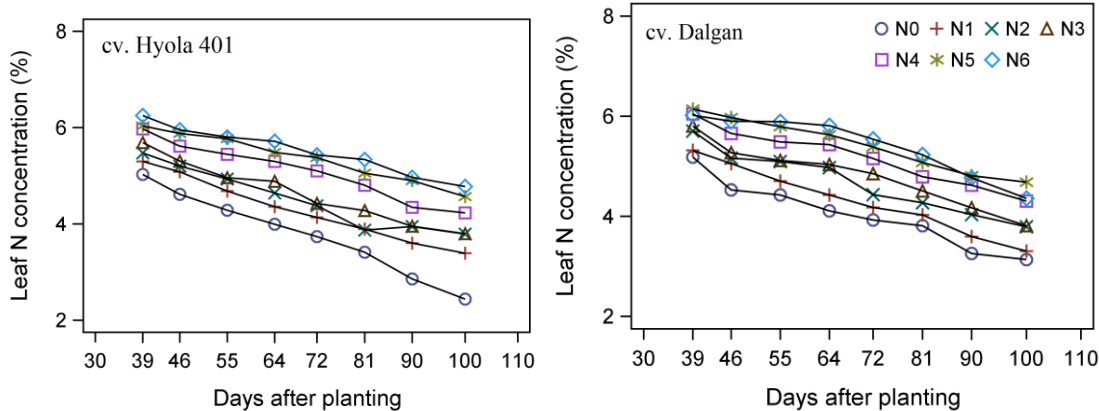
در طی دوره رشد کاهش یافت (شکل 2). بسته به مرحله رشد کلزا، رقم هایولا 401 از 2/44 درصد (تیمار N<sub>0</sub>) تا 6/25 درصد (تیمار N<sub>6</sub>) و در رقم دلگان از 3/14 درصد (تیمار N<sub>0</sub>) تا 6/15 درصد (تیمار N<sub>5</sub>) متغیر بود.

دلگان از 0/06 (تیمار N<sub>0</sub>) تا 3/56 تن در هکتار (تیمار N<sub>4</sub>) متغیر بود. در هر دو رقم کلزای مطالعه شده، LDM به طور معنی داری از تیمار N<sub>0</sub> تا N<sub>4</sub> افزایش یافت، اما میان تیمارهای N<sub>4</sub>، N<sub>5</sub> و N<sub>6</sub> تفاوت معنی داری وجود نداشت. به طور کلی، افزایش مصرف N منجر به افزایش غلظت N برگ شد، اما در عین حال LNC با افزایش LDM



شکل 1- تغییرات ماده خشک برگ (LDM) دو رقم کلزای بهاره (دلگان و هایولا 401) با زمان تحت تیمارهای مختلف مصرف نیتروژن  
 Fig. 1- Changes in leaf dry matter (LDM) of two spring rapeseed cultivars (Dalgan and Hyola 401) with time under different nitrogen application treatments

نمادها مقادیر مختلف مصرف نیتروژن (0، 50، 100، 150، 200، 250 و 300 کیلوگرم در هکتار) را نشان می دهند.  
 The symbols represent different rates of nitrogen application (0, 50, 100, 150, 200, 250 and 300 kg.ha<sup>-1</sup>).



شکل 2- تغییرات غلظت نیتروژن برگ (LNC) دو رقم کلزای بهاره (دلگان و هایولا 401) با زمان تحت تیمارهای مختلف مصرف نیتروژن  
 Fig. 2- Changes in leaf nitrogen concentration (LNC) of two spring rapeseed cultivars (Dalgan and Hyola 401) with time under different nitrogen application treatments

نمادها مقادیر مختلف مصرف نیتروژن (0، 50، 100، 150، 200، 250 و 300 کیلوگرم در هکتار) را نشان می دهند.  
 The symbols represent different rates of nitrogen application (0, 50, 100, 150, 200, 250 and 300 kg.ha<sup>-1</sup>).

رقم کلزای بهاره مطالعه شده، داده های مربوط به همه تاریخ های نمونه برداری به استثنای نمونه برداری اول که پس از 39 روز از کاشت

مقادیر N<sub>c</sub> به روش ارائه شده توسط جاستر و همکاران (Justes et al., 1994) که در شکل 3 نشان داده شده است، تعیین شد. در هر دو

ضریب تبیین ( $R^2$ ) این منحنی 0/66 و تجزیه واریانس رگرسیون مربوط به آن در سطح احتمال یک درصد معنی دار بود. تغذیه N وقتی  $NNI=1$  است بهینه فرض می‌شود، درحالی‌که  $NNI > 1$  مصرف لوکس N و  $NNI < 1$  کمبود N را نشان می‌دهد. NNI می‌تواند به‌عنوان شاخصی برای کمی‌سازی شدت تنش N پس از شروع کمبود N استفاده شود. تفاوت‌های زیادی میان تیمارهای مصرف N و بین دو رقم مطالعه شده در تاریخ‌های مختلف نمونه برداری از نظر NNI محاسبه شده وجود داشت (شکل 5). با افزایش میزان مصرف N افزایش یافت و بسته به تاریخ نمونه برداری دامنه‌ای از 0/72 تا 1/14 و 0/53 تا 1/15 را به ترتیب برای رقم دلگان و هایولا 401 شامل شد. مقادیر NNI برای تیمارهای  $N_0, N_1, N_2$  و  $N_3$  در همه تاریخ‌های نمونه برداری کم‌تر از یک، برای تیمار  $N_4$  تقریباً برابر یک و برای  $N_5$  و  $N_6$  تا حدودی بزرگ‌تر از یک بود. NNI با افزایش سن گیاه و پیشرفت به‌سوی تشکیل خورجین‌ها در تیمارهای N- محدود به‌طور شدیدتری کاهش یافت. هرچند در رقم هایولا 401 این کاهش در تیمار  $N_4$  نیز مشاهده شد. این نتایج اعتبار استفاده از شاخص NNI برای تشخیص وضعیت تغذیه N گیاه کلزای بهاره را تأیید می‌کند.

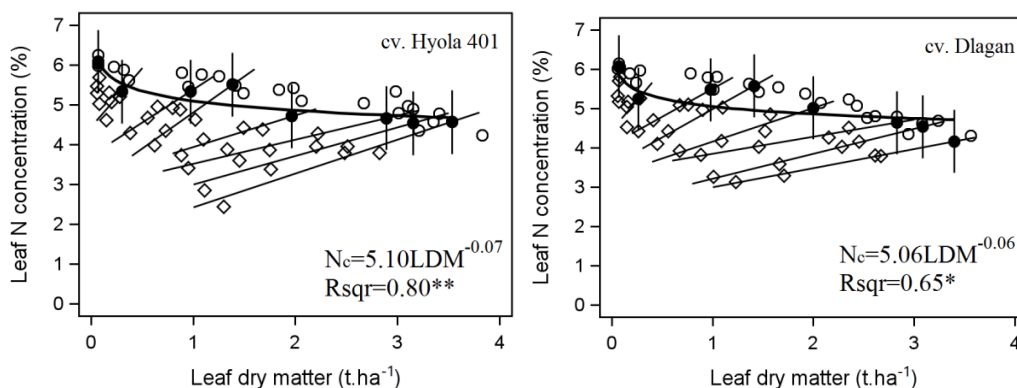
انجام گرفته بود، جهت تعیین مقادیر  $N_c$  استفاده شد.  $N_c$  برای هر یک از این مراحل به‌عنوان عرض از مبدأ بین خطوط مورب و عمودی برازش داده شده به داده‌ها تعیین گردید. داده‌های LDM مربوط به نمونه برداری اول اختلاف معنی‌داری میان سطوح مصرف N نشان ندادند. لذا، رویکردی مشابه با یائو و همکاران (Yao et al., 2014b) برای تعیین مقدار  $N_c$  مربوط به این تاریخ نمونه برداری اتخاذ شد. به این صورت که مقدار متوسط بین حداقل غلظت N تیمارهای N- غیرمحدود و حداکثر غلظت N تیمارهای N- محدود به‌عنوان مقدار  $N_c$  در نظر گرفته شد. در هر دو رقم کلزای بهاره مطالعه شده، مقادیر  $N_c$  روندی نزولی در پاسخ به افزایش LDM بحرانی نشان دادند که با استفاده از روابط 5 (برای رقم دلگان) و 6 (برای رقم هایولا 401) توصیف شد (شکل 3):

$$N_c = 5.06LDM^{-0.06} \quad (5) \text{ معادله}$$

$$N_c = 5.10LDM^{-0.07} \quad (6) \text{ معادله}$$

مقادیر خطای استاندارد برآورد پارامترها نشان داد که بین منحنی‌های رقیق شدن  $N_c$  دو رقم کلزای بهاره مطالعه شده اختلاف معنی‌داری وجود نداشت. بنابراین، داده‌های هر دو رقم ادغام شد و منحنی  $N_c$  واحدی مطابق با تابع زیر برازش داده شد (شکل 4):

$$N_c = 5.08LDM^{-0.06} \quad (7) \text{ معادله}$$

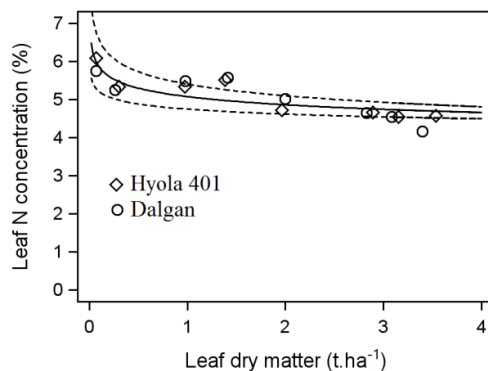


شکل 3- مقادیر نیتروژن بحرانی ( $N_c$ ) مورد استفاده جهت توسعه منحنی‌های رقیق شدن نیتروژن بحرانی برای رقم دلگان و هایولا 401

Fig. 3- Critical nitrogen ( $N_c$ ) values used to develop the  $N_c$  dilution curves for the Dalgan and Hyola 401 cultivars

نمادهای لوزی ( $\diamond$ ) و دایره توخالی ( $\circ$ ) به ترتیب مقادیر اندازه‌گیری شده در تیمارهای نیتروژن-محدود و نیتروژن-غیرمحدود را نشان می‌دهند. نماد دایره توپر ( $\bullet$ ) مقادیر نیتروژن بحرانی محاسبه شده برای هر تاریخ نمونه برداری را نشان می‌دهد.

The diamond ( $\diamond$ ) and circle ( $\circ$ ) symbols represent the values measured in the nitrogen-limiting and non-nitrogen-limiting treatments, respectively. The Circlefilled symbol ( $\bullet$ ) shows the calculated  $N_c$  points for each sampling date.



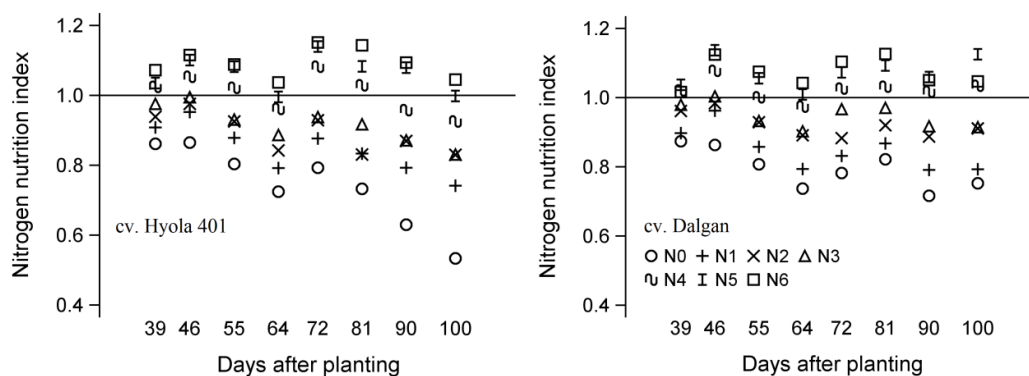
شکل 4- مقادیر نیتروژن بحرانی ( $N_c$ ) مورد استفاده جهت تعریف منحنی رقیق شدن نیتروژن بحرانی دو رقم کلزا  
 Fig. 4- Critical nitrogen ( $N_c$ ) values used to define the critical nitrogen dilution curve

خط ممتد نشان‌دهنده منحنی رقیق شدن نیتروژن بحرانی است که رابطه بین غلظت بحرانی نیتروژن و ماده خشک برگ کلزای بهاره را توصیف می‌کند. خط‌های پریده حدود اطمینان را نشان می‌دهند ( $P=0.95$ ).

The solid line represents the critical nitrogen dilution curve, which describes the relationship between the critical concentration of nitrogen and the leaf dry matter of spring rapeseed. The dashed lines represent the confidence band ( $P=0.95$ ).

با  $(R^2 = 0.90)$  و برای رقم هایولا 401 با استفاده از رابطه  $A = 0.36DAP^2 - 61.96DAP + 3390$  ( $R^2 = 0.97$ ) توصیف شد. ضریب B برای رقم دلگان به صورت  $B = 0.01DAP^2 - 0.68DAP - 8.38$  ( $R^2 = 0.52$ ) و برای رقم هایولا 401 به صورت  $B = 0.08DAP^2 + 9.98DAP - 316.40$  ( $R^2 = 0.74$ ) تعریف شد. بر اساس این  $\Delta N$ ، امکان تصحیح و توصیه N کودی مورد نیاز در هر روز از چرخه رشد جهت مدیریت دقیق نیتروژن در کلزای بهاره امکان‌پذیر است.

در هر دو رقم کلزای بهاره مطالعه شده و در همه تاریخ‌های نمونه برداری، اختلاف میزان مصرف N ( $\Delta N$ ) همبستگی مثبت معنی‌داری با تغییرات NNI ( $\Delta NNI$ ) نشان داد (شکل 6). این رابطه در هر دو رقم با زمان (روز پس از کاشت؛ DAP) تغییر کرد. بنابراین، برای هر رقم تغییرات  $\Delta N$  را می‌توان با استفاده از معادله  $\Delta N = A \times \Delta NNI + B$  توصیف کرد و تغییرات پارامترهای این رابطه (A و B) با گذشت زمان از کاشت را با استفاده از روابط مناسب دیگری کمی‌سازی نمود. بر این اساس، ضریب A برای هر روز از کاشت در رقم دلگان با رابطه  $A = 0.23DAP^2 - 44.13DAP + 2872$

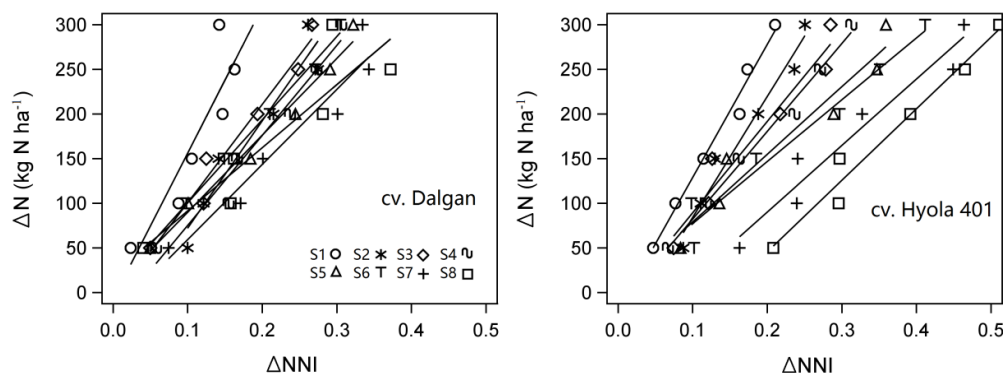


شکل 5- تغییرات شاخص تغذیه نیتروژنی (NNI) با زمان (روز پس از کاشت) در برگ‌های دو رقم کلزای مطالعه شده تحت شرایط مصرف مقادیر مختلف نیتروژن

Fig. 5- Changes of nitrogen nutrition index (NNI) with time (days after planting) for leaves of two spring rapeseed cultivars studied under different nitrogen application rates

نمادها مقادیر مختلف مصرف نیتروژن (0، 50، 100، 150، 200، 250 و 300 کیلوگرم در هکتار) را نشان می‌دهند.

The symbols represent different rates of nitrogen application (0, 50, 100, 150, 200, 250 and 300 kg.ha<sup>-1</sup>)



شکل 6- رابطه بین تغییرات شاخص تغذیه نیتروژنی (ΔNNI) و تغییرات میزان مصرف نیتروژن (ΔN) در طی دوره رشد دو رقم کلزای بهاره  
 Fig. 6- Relationship between changes of nitrogen nutrition index (ΔNNI) and changes of nitrogen application rates (ΔN) during the growing season of two spring rapeseed cultivars

نمادها نمونه‌برداری تخریبی انجام شده در طی چرخه رشد را نشان می‌دهند

The symbols represent the destructive sampling performed during the growth cycle

تغذیه N وقتی  $N_{and} = 0$  است بهینه فرض می‌شود، درحالی‌که  $N_{and} > 0$  کمبود N و  $N_{and} < 0$  مصرف تجملی N را نشان می‌دهد. میان تیمارهای مصرف N و بین دو رقم کلزای بهاره مطالعه شده تفاوت‌های قابل‌ملاحظه‌ای از نظر  $N_{and}$  محاسبه شده در روزهای پس از کاشت وجود داشت (شکل 7). مقادیر  $N_{and}$  بسته به میزان مصرف N و تاریخ نمونه‌برداری در رقم دلگان بین 11/61- و 107/09 کیلوگرم N در هکتار و در رقم هایولا 401 بین 24/22- و 129/64 کیلوگرم N در هکتار متغیر بود.  $N_{and}$  با کاهش میزان مصرف N افزایش یافت. این افزایش با پیشرفت مراحل نمو گیاه به تدریج تشدید شد و برای تیمارهای N- محدود ( $N_0, N_1, N_2, N_3$ ) در مرحله تشکیل خورجین‌ها به حداکثر رسید. این نتایج سودمندی  $N_{and}$  جهت ارزیابی وضعیت تغذیه N در کلزای بهاره را تأیید می‌کند. در هر دو رقم کلزای بهاره مطالعه شده، بین اختلاف میزان مصرف N ( $\Delta N$ ) و تغییرات  $N_{and}$  همبستگی مثبت معنی‌داری وجود داشت (شکل 8). میزان این همبستگی با زمان از کاشت تغییر کرد. بنابراین، برای هر رقم تغییرات  $\Delta N$  را می‌توان با استفاده از معادله  $\Delta N = A \times \Delta N_{and} + B$  توصیف کرد و تغییرات پارامترهای این رابطه (A و B) با گذشت زمان از کاشت را با استفاده از روابط مناسب دیگری کمی‌سازی نمود. بر این اساس، ضریب A برای هر روز از کاشت در رقم دلگان با رابطه  $A = -0.007DAP^2 + 1.21DAP - 52.86$  (با  $R^2 = 0.87$ ) و برای رقم هایولا 401 با استفاده از رابطه  $A = -0.003DAP^2 + 0.67DAP - 31.91$  (با  $R^2 = 0.98$ ) توصیف شد. ضریب B برای رقم دلگان به صورت

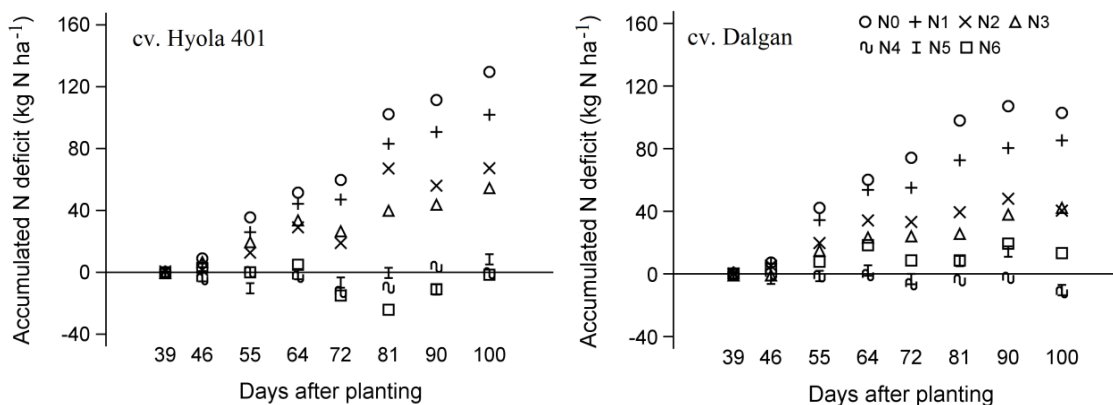
نتایج به دست آمده در این تحقیق از مفهوم رقیق شدن N بحرانی در برگ‌ها حمایت می‌کند. این مفهوم ابتدا توسط گرین‌وود و همکاران (Greenwood et al., 1990) برای گونه‌های علفی یک‌ساله توسعه یافت و سپس به گیاهان زراعی دیگر تعمیم داده شد. در مطالعه ما، LNC با افزایش LDM کاهش یافت و منحنی  $N_c$  برگ به خوبی با استفاده از تابع توانی منفی توصیف شد. در یک LDM ثابت تنوع قابل توجهی در میزان LNC در طی زمان وجود داشت. تنوع غلظت N برگ در طی فصل رشد کلزای بهاره در این مطالعه با گزارش‌های قبلی بر روی گندم (Yao et al., 2014b) و برنج (Ata-Ul-Karim et al., 2013) مطابقت دارد و این تنوع را می‌توان به‌طور عمده به تغییر نسبت برگ به بخش هوایی و خود سایه‌اندازی برگ‌ها در طول فصل رشد نسبت داد (Colnenne et al., 1998). منحنی حد بالایی ( $N_{max}$ ) و پایینی ( $N_{min}$ ) غلظت N برگ با استفاده از روابط زیر توصیف شد:

$$N_{max} = 5.45 LDM^{-0.05} \quad (8) \text{ معادله}$$

$$N_{min} = 3.39 LDM^{-0.17} \quad (9) \text{ معادله}$$

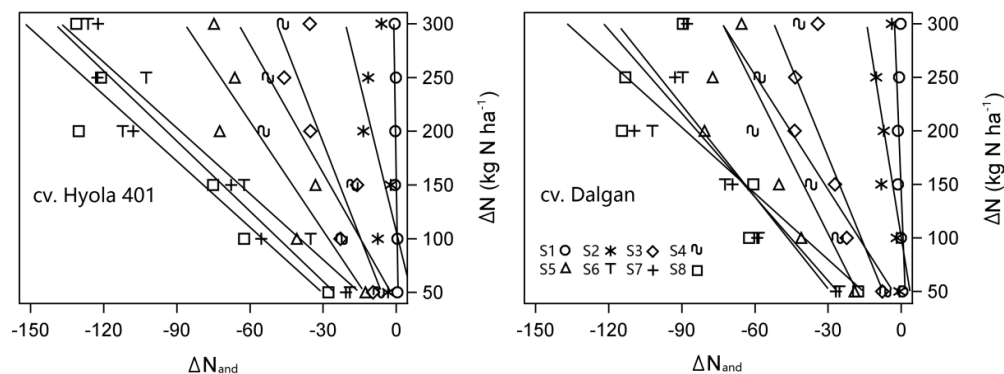
تغذیه N وقتی  $N_{and} = 0$  است بهینه فرض می‌شود، درحالی‌که  $N_{and} > 0$  کمبود N و  $N_{and} < 0$  مصرف تجملی N را نشان می‌دهد. میان تیمارهای مصرف N و بین دو رقم کلزای بهاره مطالعه شده تفاوت‌های قابل‌ملاحظه‌ای از نظر  $N_{and}$  محاسبه شده در روزهای پس از کاشت وجود داشت (شکل 7). مقادیر  $N_{and}$  بسته به میزان مصرف N و تاریخ نمونه‌برداری در رقم دلگان بین 11/61- و 107/09 کیلوگرم N در هکتار و در رقم هایولا 401 بین 24/22- و 129/64 کیلوگرم N در هکتار متغیر بود.  $N_{and}$  با کاهش میزان مصرف N افزایش یافت. این افزایش با پیشرفت مراحل نمو گیاه به تدریج تشدید شد و برای تیمارهای N- محدود ( $N_0, N_1, N_2, N_3$ ) در مرحله تشکیل خورجین‌ها به حداکثر رسید. این نتایج سودمندی  $N_{and}$  جهت ارزیابی وضعیت تغذیه N در کلزای بهاره را تأیید می‌کند. در هر دو رقم کلزای بهاره مطالعه شده، بین اختلاف میزان مصرف N ( $\Delta N$ ) و تغییرات  $N_{and}$  همبستگی مثبت معنی‌داری وجود داشت (شکل 8). میزان این همبستگی با زمان از کاشت تغییر کرد. بنابراین، برای هر رقم تغییرات  $\Delta N$  را می‌توان با استفاده از معادله  $\Delta N = A \times \Delta N_{and} + B$  توصیف کرد و تغییرات پارامترهای این رابطه (A و B) با گذشت زمان از کاشت را با استفاده از روابط مناسب دیگری کمی‌سازی نمود. بر این اساس، ضریب A برای هر روز از کاشت در رقم دلگان با رابطه  $A = -0.007DAP^2 + 1.21DAP - 52.86$  (با  $R^2 = 0.87$ ) و برای رقم هایولا 401 با استفاده از رابطه  $A = -0.003DAP^2 + 0.67DAP - 31.91$  (با  $R^2 = 0.98$ ) توصیف شد. ضریب B برای رقم دلگان به صورت





شکل 7- تغییرات کمبود نیتروژن تجمعی ( $N_{and}$ ) با زمان (روز پس از کاشت) در برگ‌های دو رقم کلزای مطالعه شده تحت شرایط مصرف مقادیر مختلف نیتروژن

Fig. 7- Changes of accumulated nitrogen deficit ( $N_{and}$ ) with time (days after planting) for leaves of two spring rapeseed cultivars studied under different nitrogen application rates (0, 50, 100, 150, 200, 250 and 300 kg.ha<sup>-1</sup>). The symbols represent different rates of nitrogen application (0, 50, 100, 150, 200, 250 and 300 kg.ha<sup>-1</sup>).



شکل 8- رابطه بین تفاوت میزان کمبود نیتروژن تجمعی ( $\Delta N_{and}$ ) و تفاوت میزان مصرف نیتروژن ( $\Delta N$ ) در طی دوره رشد دو رقم کلزای بهاره

Fig. 8- Relationship between difference value of accumulated nitrogen deficit ( $\Delta N_{and}$ ) and difference value of nitrogen application rates ( $\Delta N$ ) during the growing season of two spring rapeseed cultivars

The symbols represent the destructive sampling performed during the growth cycle

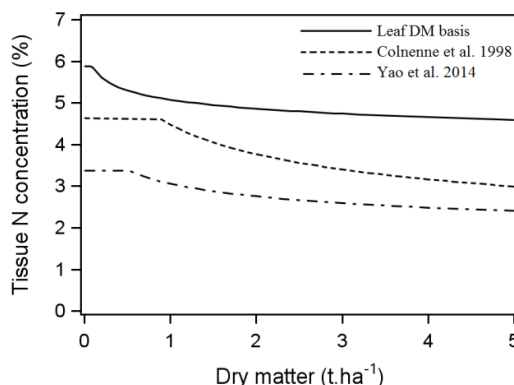
در LDM مشاهده نشد. در زیر منحنی  $N_{max}$  و بالای منحنی رقیق شدن  $N_c$  برگ، جذب نیتروژن برگ توسط میزان دسترسی به N معدنی تعیین می‌شود و مستقل از سرعت رشد برگ است ( Yao et al., 2014b). در سطح زیر منحنی رقیق شدن  $N_c$  برگ، جذب N توسط میزان N معدنی در دسترس در خاک محدود می‌شود و به نوبه خود سرعت رشد گیاه زراعی را تعیین می‌کند ( Justes et al., 1994; Ata-Ul-Karim et al., 2013; Yao et al., 2014a). منحنی  $N_{min}$  برآوردی از غلظت N برگ بالاتر از منحنی رقیق شدن  $N_c$  بود افزایشی

منحنی  $N_{max}$  از تیمارهای N- غیرمحدود به دست آمد که در این تیمارها میزان رشد و جذب N توسط کلزای بهاره حداکثر بود. این منحنی حداکثر ظرفیت جذب N توسط برگ‌ها را نشان می‌دهد. در این شرایط، میزان جذب N توسط مکانیسم‌هایی تنظیم می‌شود که به طور مستقیم با رشد و به طور غیرمستقیم با متابولیسم N در ارتباط هستند (Gayler et al., 2002). منحنی  $N_{max}$  نشان داد که در تیمارهای  $N_5$  و  $N_6$  مصرف لوکس نیتروژن وجود داشت؛ یعنی زمانی که غلظت N برگ بالاتر از منحنی رقیق شدن  $N_c$  بود افزایشی

بر اساس کل DM گیاهی به صورت رابطه  $N_c = 4.48DM^{-0.25}$  تعریف کردند. صرف نظر از بی شباهتی‌ها از نظر نوع رقم و تیپ رشدی آن و شرایط محیطی محل اجرای آزمایش، کاهش غلظت N بخش هوایی با افزایش DM در کلزای زمستانه ( $b = 0.25$ ) افزایش LDM در دو رقم کلزای بهاره مطالعه شده در اینجا بود ( $b = 0.06$ ). واضح است که برگ‌ها فعال‌ترین بافت گیاهی از نظر متابولیسم (فتوسنتز، تنفس و تعرق) هستند و از این رو غنی از N بوده و کاهش غلظت N در آن‌ها به کندی صورت می‌گیرد. ریزش برگ‌های مسن و انتقال مجدد N به بافت‌های جوان تر منجر به حفظ مقادیر بالاتر N در برگ‌ها خواهد شد. علاوه بر این، با رشد طولی ساقه نسبت DM ساختاری و غیرفتوسنتزی که دارای غلظت N کمی هستند، افزایش می‌یابد که برآیند این‌ها منجر به کاهش شدیدتر غلظت N بخش هوایی نسبت به برگ می‌شود. مشابه با نتایج به دست آمده در اینجا، کاهش غلظت N برگ در منحنی رقیق شدن  $N_c$  یائو و همکاران (Yao et al., 2014b) بسیار کم‌تر از کاهش غلظت N کل DM گیاهی در منحنی  $N_c$  ارائه شده توسط جاستر و همکاران (Justes et al., 1994) برای گندم زمستانه ( $b = 0.44$ ) بود.

تیمار، تنش کمبود N در مراحل اولیه چرخه رشد کلزا مشهود نبود. این موضوع ممکن است به دلیل تقاضای کم N در نتیجه رشد آهسته گیاه باشد. پارامتر b تابع توانی کاهش LNC با رشد گیاه زراعی را توصیف می‌کند و بنابراین، به نسبت جذب N برگ به تجمع LDM بستگی دارد. مقدار بالاتر پارامتر b منحنی  $N_{min}$  (0/17) نسبت به منحنی  $N_{max}$  (0/05) نشان داد که رقیق شدن N برگ تحت شرایط -N محدود محسوس‌تر از شرایط -N غیرمحدود بود. در شرایط -N محدود، نیاز N گیاه زراعی با N موجود در خاک مطابقت نداشت که این موضوع می‌توانست منجر به کاهش سریع LNC شود.

منحنی رقیق شدن  $N_c$  که در این مطالعه برای دو رقم کلزای بهاره تعیین شد ( $a_c = 5.08$ ) از منحنی مرجع مبتنی بر DM برگ که توسط یائو و همکاران (Yao et al., 2014b) برای گندم زمستانه ( $a_c = 3.06$ ) گزارش شده است، بالاتر بود (شکل 9). اختلاف بین این دو منحنی  $N_c$  برگ را می‌توان با تفاوت‌های موجود بین دو گونه از نظر ظرفیت جذب و استفاده از N (Lemaire et al., 2007) توضیح داد. علاوه بر این، منحنی رقیق شدن  $N_c$  توسعه یافته در این مطالعه متفاوت از منحنی مرجع گزارش شده توسط کلنن و همکاران (Colnenne et al., 1998) برای کلزای زمستانه بود (شکل 9). کلنن و همکاران (Colnenne et al., 1998) منحنی  $N_c$  کلزای زمستانه را



شکل 9- مقایسه منحنی‌های رقیق شدن نیتروژن بحرانی ( $N_c$ )

Fig. 9- Comparison of different critical nitrogen ( $N_c$ ) dilution curves

خط پریده منحنی رقیق شدن  $N_c$  توسعه یافته توسط کلنن و همکاران (Colnenne et al., 1998) بر مبنای ماده خشک کل گیاهی در کلزای زمستانه ( $N_c = 4.48W^{-0.25}$ ) و خط پریده - نقطه منحنی رقیق شدن  $N_c$  توسعه یافته توسط یائو و همکاران (Yao et al., 2014b) بر مبنای ماده خشک برگ برای گندم زمستانه ( $N_c = 3.06W^{-0.15}$ )، خط ممتد منحنی رقیق شدن  $N_c$  مطالعه فعلی بر مبنای ماده خشک برگ برای کلزای بهاره ( $N_c = 5.08W^{-0.06}$ ) را نشان می‌دهد. The dashed line represents the  $N_c$  dilution curve developed by Colnenne et al. (1998) on plant dry matter basis for winter rapeseed ( $N_c = 4.48W^{-0.25}$ ), and the dashed-dotted line represents the  $N_c$  dilution curve developed by Yao et al. (2014b) on leaf dry matter basis for winter wheat ( $N_c = 3.06W^{-0.15}$ ). The solid line represents the  $N_c$  dilution curve of present study on leaf dry matter basis in spring rapeseed ( $N_c = 5.08W^{-0.06}$ ).

تشخیص وضعیت تغذیه N گیاه زراعی در مزرعه مهم‌ترین کاربرد منحنی رقیق شدن  $N_c$  است. منحنی رقیق شدن  $N_c$  می‌تواند به‌عنوان یک ابزار تحلیلی جهت مدیریت ایده‌آل N از نظر جنبه‌های اقتصادی و سازگاری با محیط‌زیست در تولید کلزای بهاره مورد استفاده قرار گیرد. این منحنی می‌تواند به تصمیم‌گیری در مورد ضرورت یا عدم ضرورت مصرف کود N بیش‌تر برای افزایش محتوای N برگ در هر مرحله از رشد گیاه زراعی کمک نماید. برای این منظور، مقادیر بهینه NNI و  $N_{and}$  بایستی برای مراحل کلیدی رشد گیاه زراعی تعیین شود و مدیریت دقیق N بر اساس این معیارها انجام گیرد. هر دو شاخص NNI و  $N_{and}$  به‌خوبی وضعیت تغذیه N کلزای بهاره را تعیین کردند. پاسخ‌های مشابهی برای NNI و  $N_{and}$  در گیاهان زراعی دیگر مثل گندم بهاره (Ziadi et al., 2010)، گندم زمستانه (Yao et al., 2014b)، ذرت (Zhao et al., 2017) و برنج ژاپونیکا (Yao et al., 2014a) گزارش شده است که نشان می‌دهد NNI و  $N_{and}$  می‌تواند به‌عنوان یک روش مرجع برای تشخیص کمبود N استفاده شوند.

### نتیجه‌گیری

غلظت N برگ‌های سایه‌انداز گیاهی هر دو رقم کلزای بهاره مطالعه شده با افزایش سن گیاه کاهش یافت. کاربرد مقادیر بیش‌تر N منجر به افزایش غلظت N برگ‌ها شد. منحنی رقیق شدن  $N_c$  کلزای بهاره بر مبنای DM برگ توسعه یافت و با رابطه  $N_c = 5.08LDM^{-0.06}$  توصیف شد. این منحنی بالاتر از منحنی مرجع کلزای زمستانه بر مبنای کل DM گیاهی بود. مقادیر NNI و  $N_{and}$  در تاریخ‌های مختلف نمونه‌برداری برای شرایط کمبود N کوچک‌تر از یک و بزرگ‌تر از صفر و برای شرایط مصرف لوکس N بزرگ‌تر از یک و کوچک‌تر از صفر بود. با استفاده از روابط به‌دست آمده از بررسی تغییرات  $\Delta N$  در برابر تغییرات NNI و  $N_{and}$  می‌توان به توصیه N کودی مورد نیاز در طی فصل رشد اقدام کرد.

### References

- Ata-Ul-Karim, S.T., Xia, Y., Liu, X.J., Cao, W.X., and Zhu, Y., 2013. Development of critical nitrogen dilution curve of Japonica rice in Yangtze River Reaches. *Field Crops Research* 149: 149–158.
- Ata-Ul-Karim, S.T., Cao, Q., Zhu, Y., Tang, L., Rehmani, M.I.A., and Cao, W., 2016. Nondestructive assessment of plant nitrogen parameters using leaf chlorophyll measurements in rice. *Frontiers in Plant Science* 7: 1829.
- Ata-Ul-Karim, S.T., Zhu, Y., Lu, X.J., Cao, Q., Tian, Y.C., and Cao, W., 2017a. Estimation of nitrogen fertilizer requirement for rice crop using critical nitrogen dilution curve. *Field Crops Research* 201: 32–40.
- Ata-Ul-Karim, S.T., Liu, X., Lu, Z., Zheng, H., Cao, W., and Zhu, Y., 2017b. Comparison of different critical nitrogen dilution curves for nitrogen diagnosis in rice. *Scientific Reports* 7: 42679.
- Bremner, J.M., and Mulvaney, C.S., 1982. Nitrogen-total. In: A.L. Page (Ed.). *Methods of Soil Analysis, Part 2*. American Society of Agronomy, Madison, WI. p. 595–624.
- Colnenne, C., Meynard, J.M., Reau, R., Justes, E., and Merrien, A., 1998. Determination of a critical nitrogen dilution curve for winter oilseed rape. *Annals of Botany* 81: 311–317.
- Fitzgerald, G., Rodriguez, D., and O'Leary, G., 2010. Measuring and predicting canopy nitrogen nutrition in wheat using a spectral index-the canopy chlorophyll content index (CCCI). *Field Crops Research* 116: 318–324.
- Gayler, S., Wang, E., Priesack, E., Schaaf, T., and Mädl, F.X., 2002. Modeling biomass growth, N uptake and physiological development of potato crop. *Geoderma* 105: 367–383.
- Greenwood, D.J., Lemaire, G., Gosse, G., Cruz, P., Draycott, A., and Neeteson, J.J., 1990. Decline in percentage N of C<sub>3</sub> and C<sub>4</sub> crops with increasing plant mass. *Annals of Botany* 66: 425–436.
- Justes, E., Mary, B., and Machet, J.M., 1994. Determination of a critical nitrogen dilution curve for winter wheat crops. *Annals of Botany* 74: 397–407.
- Lemaire, G., and Gastal, F., 1997. Nitrogen uptake and distribution in plant canopies. In G. Lemaire (Ed.). *Diagnosis of the Nitrogen Status in Crops*. Springer-Verlag Publishers, Heidelberg. p. 3–43.
- Lemaire, G., van Oosterom, E., Sheehy, J., Jeuffroy, M.H., Massignam, A., and Rossato, L., 2007. Is crop demand more closely related to dry matter accumulation or leaf area expansion during vegetative growth? *Field Crops Research* 100: 91–106.

- Miranzadeh, M.B., Heidari, M., Dehghan, S., and Hasanzadeh, M., 2010. An overview of nitrate in drinking water and its health effect with emphasis on its carcinogenic risk in human. *Health System Research* 6: 1057–1071. (In Persian with English Summary)
- Rico-Garcia, E., Hernandez, F., Soto-Zarazua, G., and Herrera-Ruiz, G., 2009. Two new methods for the estimation of leaf area using digital photography. *International Journal of Agriculture and Biology* 11: 397–400.
- Schlemmer, M., Gitelson, A., Schepers, J., Ferguson, R., Peng, Y., Shanahan, J., and Rundquist, D., 2013. Remote estimation of nitrogen and chlorophyll contents in maize at leaf and canopy levels. *International Journal of Applied Earth Observation and Geoinformation* 25: 47–54.
- Sinclair, T.R., and Horie, T., 1989. Leaf nitrogen, photosynthesis and crop radiation use efficiency: a review. *Crop Science* 29: 90–98.
- Weymann, W., Sieling, K., and Kage, H., 2016. Organ-specific approaches describing crop growth of winter oilseed rape under optimal and N-limited conditions. *European Journal of Agronomy* 82: 71–79.
- Xu, G.H., Fang, X.R., and Miller, A.J., 2012. Plant nitrogen assimilation and use efficiency. *Annual Review of Plant Biology* 63: 153–182.
- Yao, X., Ata-Ul-Karim, S.T., Zhu, Y., Tian, Y., Liu, X., and Cao, W., 2014a. Development of critical nitrogen dilution curve in rice based on leaf dry matter. *European Journal of Agronomy* 55: 20–28.
- Yao, X., Zhao, B., Tian, Y.C., Liu, X.J., Ni, J., Cao, W.X., and Zhu, Y., 2014b. Using leaf dry matter to quantify the critical nitrogen dilution curve for winter wheat cultivated in eastern China. *Field Crops Research* 159: 33–42.
- Yue, S.C., Meng, Q.F., Zhao, R.F., Li, F., Chen, X.P., Zhang, F.S., and Cui, Z.L., 2012. Critical nitrogen dilution curve for optimizing nitrogen management of winter wheat production in the North China Plain. *Agronomy Journal* 104: 523–529.
- Zhao, B., Ata-Ul-Karim, S.T., Liu, Z., Ning, D., Xiao, J., Liu, Z., Qin, A., Nan, J., and Duan, A., 2017. Development of a critical nitrogen dilution curve based on leaf dry matter for summer maize. *Field Crops Research* 208: 60–68.
- Zhao, B., Liu, Z.D., Ata-Ul-Karim, S.T., Xiao, J.F., Liu, Z.G., and Qi, A.Z., 2016. Rapid and nondestructive estimation of the nitrogen nutrition index in winter barley using chlorophyll measurements. *Field Crops Research* 185: 59–68.
- Zhao, S., Qiu, S., Cao, C., Zheng, C., Zhou, W., and He, P., 2014. Responses of soil properties, microbial community and crop yields to various rates of nitrogen fertilization in a wheat-maize cropping system in north-central China. *Agriculture, Ecosystems and Environment* 194: 29–37.
- Zhao, B., 2014. Determining of a critical dilution curve for plant nitrogen concentration in winter barley. *Field Crops Research* 160: 224–234.
- Ziadi, N., Bélanger, G., Claessens, A., Lefebvre, L., Cambouris, A.N., Tremblay, N., Nolin, M.C., and Parent, L.É., 2010. Determination of a critical nitrogen dilution curve for spring wheat. *Agronomy Journal* 102: 241–250.
- Ziadi, N., Brassard, M., Bélanger, G., Claessens, A., Tremblay, N., Cambouris, A., Nolin, M., and Parent, L.E., 2008. Chlorophyll measurements and nitrogen nutrition index for the evaluation of corn nitrogen status. *Agronomy Journal* 100: 271–273.

## Development of a Critical Nitrogen Dilution Curve Based on Leaf Dry Matter for Two Spring Rapeseed (*Brassica napus* L.) Cultivars

S.A. Siadat<sup>1\*</sup> and A. Derakhshan<sup>2</sup>

Submitted: 22-05-2018

Accepted: 08-10-2018

Siadat, S.A., and Derakhshan, A. 2020. Development of a critical nitrogen dilution curve based on leaf dry matter for two spring rapeseed (*Brassica napus* L.) cultivars. Journal of Agroecology. 11 (4): 1343-1356.

### Introduction

Supplementing crop growth with nitrogen (N) can significantly increase yields. However, the excessive use of N in intensive cropping systems has led to lower N use efficiency, an increase in greenhouse gas emissions as well as water pollution. The critical N concentration ( $N_c$ ) is the minimum N required for maximal growth and can be used as a tool for accurate N management during the growing season. Leaf dry matter (LDM) is an important indicator of crop growth potential and a measure of light-energy utilization, and yield formation in rapeseed. LDM increases as more N fertilizer is applied, although differences in LDM are small under high fertilization levels. Therefore, construction of a  $N_c$  curve based on LDM during the vegetative growth of spring rapeseed would be a worthwhile objective. Our aims in the present study were (i) to construct a leaf  $N_c$  curve, (ii) to compare this curve with published data, and (iii) to explore its potential for estimating spring rapeseed leaf N status.

### Materials and Methods

A field experiment with seven levels of N fertilizer including 0, 50, 100, 150, 200, 250 and 300 kg.ha<sup>-1</sup> was performed, and LDM and leaf N concentration (LNC) of two spring rapeseed cultivars were measured during the growing season. The procedure used for constructing the leaf  $N_c$  curve was first proposed by Justes et al. (1994). The N nutrition index (NNI) on each sampling date was calculated by dividing LNC by leaf  $N_c$  concentration. The accumulated N deficit ( $N_{and}$ ) in leaves for each sampling date was determined by subtracting the N accumulation in leaves under the  $N_c$  condition from actual N accumulation in leaves under different N rates.

### Results and Discussion

N application rate exhibited a significant effect on LDM during the vegetative growth of rapeseed. The LDM increased gradually with increasing N utilization. LDM ranged from 0.06-3.83 ton.ha<sup>-1</sup> for Hyola 401 cv. and from 0.06-3.56 ton.ha<sup>-1</sup> for Dalgan cv. LNC generally increased with increasing N application. LNC remained relatively stable during the early growth but decreased gradually as cultivars reached the flowering stage. LNC values ranged from 2.44-6.2% for Hyola 401 cv. and from 3.14-6.1% for Dalgan cv. The leaf  $N_c$  concentrations in Hyola 401 and Dalgan cultivars declined with increasing LDM and the curve for these cultivars was fitted according to the equation  $N_c = 5.08LDM^{-0.06}$ . The similar trends of decline in leaf N dilution have been previously reported in winter wheat, maize and rice, when N dilution was estimated on the whole plant or specific plant organs basis. NNI values began to decrease with the decrease in the quantity of applied N. NNI values varied from 0.72-1.14 in the Dalgan cv. and from 0.53-1.15 in the Hyola 401 cv. The NNI values were greater than one for non-N limiting treatments and less than one for N-limiting treatments. These results confirm that NNI can provide accurate and quantitative insight into the N nutrition status of rapeseed. The  $N_{and}$  values ranged between -11.61-107.09 kg N ha<sup>-1</sup> in the Dalgan cv. and between -24.22-129.64 for the Hyola 401 cv. depending on the N dosage.  $N_{and}$  decreased with increased N rates, while intensified gradually over growth progress of rapeseed and reached its peak at flowering stage for N-limiting treatments. These results confirmed the usefulness of  $N_{and}$  for assessing N nutrition in spring rapeseed. There was a significant positive correlation between the changes in N application rates ( $\Delta N$ ) and the changes in NNI ( $\Delta NNI$ ), and between  $\Delta N$  and the changes in  $N_{and}$  ( $\Delta N_{and}$ ). Generally, the  $N_c$  dilution curve, NNI, and  $N_{and}$  derived from it well recognized nutrition status of two cultivars under N-limiting and non-N limiting conditions, and can be used to as a reliable indicator of the crop N status during the growing season.

1 and 2- Professor and Ph.D. in Agronomy, Department of Plant Production and Genetics Engineering, Faculty of Agriculture, Khuzestan Agricultural Sciences and Natural Resources University, Iran, respectively.

(\*- Corresponding Author Email: seyedatiasadat@asnruk.ac.ir)

Doi: 10.22067/jag.v11i4.72921

**Conclusion**

The N concentration in the canopy leaves decreased with advancing maturity, while a higher N application rate generally exhibited a higher leaf N concentration. The present  $N_c$  dilution curve based on LDM provides an insight into N nutrition status in spring rapeseed plant and can serve as a novel tool to improve N fertilization management in rapeseed.

**Keywords:** Critical nitrogen, Nitrogen deficiency, Nitrogen nutrition index, Nitrogen use optimization, Precise nitrogen management